

Belegarbeit

Zum Modul Echtzeitsysteme und mobile Robotik

Sommersemester 2025

Hochschulbetreuer: M. Sc. Moritz Thümmler

Steuerung mobiler Roboter

praktische Anwendungen mit ROS2



Vorgelegt von:

Eric Lausch, Nils Wiora

Studiengang:

Elektro- und Informationstechnik

Seminargruppe:

24EIM-AT

Bearbeitungszeitraum:

13. November 2025

Inhaltsverzeichnis

Abkürzungsverzeichnis	IV
Abbildungsverzeichnis	V
1 Einleitung	5
2 Programmieraufgaben	6
2.1 Sockets	6
2.1.1 Teilaufgabe A	6
2.1.2 Teilaufgabe B	6
2.1.3 Teilaufgabe C	7
2.1.4 Teilaufgabe D	8
2.2 Interprozesskommunikation	9
2.2.1 Teilaufgabe A und B	9
2.2.2 Teilaufgabe C	10
2.2.3 Teilaufgabe D	10
3 Grundkonzepte von ROS2 mit einem Versuchsroboter	12
3.1 Erstinbetriebnahme	12
3.1.1 Grundprinzip von Nodes und Topics	12
3.1.2 Untersuchung der ROS-Kommunikation	13
4 TurtleBot mit ESP32	15
4.1 Arbeitsumgebung	15
4.1.1 Betriebssystem und Systemkonfiguration	15
4.1.2 Entwicklungsumgebung PlatformIO	16
4.1.3 Netzwerk- und Agentumgebung	16
4.1.4 Erkenntnisse	17
4.2 Turtlesim Teleop	17
4.2.1 Micro-ROS-Struktur und Node-Konfiguration	17
4.2.2 Kommunikation Motorcontroller	18
4.2.3 Implementierungsdetails	18
4.2.4 Fehlerquellen und Besonderheiten	19
4.3 Abfahren von Polygonen	20
4.3.1 Ziel und Aufbau	21
4.3.2 Steuerlogik	21
4.3.3 Implementierungsdetails	21

4.3.4	Aufruf und Parametrisierung	22
4.3.5	Beobachtungen	23
4.4	Sensorintegration: Bumper mit Host-seitiger Sicherheitslogik	24
4.4.1	Zielsetzung	24
4.4.2	Systemübersicht und Topics	24
4.4.3	Implementierung	25
4.4.4	Parameter der Safety-Node	26
4.4.5	Ergebnis	26
4.4.6	Probleme	26
5	Steuerung eines professionellen Roboters mit ROS2	28
Literatur		33
Anhang		34

Abkürzungsverzeichnis

A a

Abbildungsverzeichnis

1	Funktionsprinzip der zeitbasierten Steuerung des <i>ShapeDriver</i> -Knotens	22
2	Fahrspur der Turtlesim-Node	23
3	Blockdiagramm der Systemarchitektur	25
4	Blockdiagramm der Systemarchitektur	29
5	Blockdiagramm der Systemarchitektur	30
6	Blockdiagramm der Systemarchitektur	31

1 Einleitung

Mobile Roboter sind den meisten Menschen wohl in Form von Putzrobotern geläufig. In der Industrie werden sie ebenfalls weit verbreitet eingesetzt. Eine häufige Anwendung für mobile Roboter ist der Warentransport innerhalb der Produktion. Es können beispielsweise Waren aus Lagern geholt, in der Fertigung Teile an weiterverarbeitende Stationen geliefert oder auch wie im Heimbereich Reinigungsarbeiten durchgeführt werden. Der Unterschied zu einem Fahrerlosen Transportsystem ist die flexible Wegfindung der autonomen mobilen Roboter. Diese bewegen sich nicht auf festen vorgegebenen Pfaden sondern finden innerhalb ihrer Bewegungszonen den optimalen Weg zu ihrem Ziel. Mit Hilfe von Sensoren und Technologien wie Radar, erfolgt die Orientierung im Raum aber auch die Hinderniserkennung. Die mobilen Roboter umfahren im Weg befindliche Hindernisse selbstständig. Die Verwaltung der gesamten in einem Betrieb vorhandenen Roboter kann mit Software erfolgen. Dort können beispielsweise bestimmte Aufgaben zugewiesen und priorisiert werden [1].

In diesem Beleg sollen zunächst einige Grundkonzepte, die bei Echtzeitsystemen Anwendung finden anhand von Beispielen umgesetzt werden. Dazu gehören Sockets und die Interprozesskommunikation. Anschließend werden die Grundlagen des Roboter Betriebssystems ROS mit Hilfe eines Versuchsroboters angewendet. Im Rahmen einer kleinen Beispielanwendung soll das Verständnis der Funktionsweise von ROS belegt werden. Abschließend erfolgt die Erprobung der erlangten Erkenntnisse mit einem professionellen mobilen Roboter.

2 Programmieraufgaben

Der Quellcode für der einzelnen Aufgabenteile ist im git-Repo zu finden. Nachfolgend sollen die Grundkonzepte und die Verwendung der entwickelten Anwendungen geschildert werden.

2.1 Sockets

Ein Socket ist eine Softwarestruktur, die zur Netzwerkkommunikation verwendet wird. Darüber hinaus werden Sockets auch zur Interprozesskommunikation eingesetzt. Darauf wird in der zweiten Aufgabe detaillierter eingegangen. Sockets sind bidirektional und der jeweilige Endpunkt des Kommunikationskanals. Über diesen Kanal können Anfragen gesendet und auch die entsprechenden Antworten empfangen werden. Client und Server besitzen einen eigenen Socket, dieser besteht aus Ziel- bzw. Quell-IP-Adresse, Ziel- bzw. Quellport sowie dem zu verwendenden Protokoll [2].

2.1.1 Teilaufgabe A

In Teilaufgabe A wird die Grundstruktur für eine Socketkommunikation aufgebaut. Der Server soll bei Empfang eines PING Kommandos dem Client mit einem PONG antworten.

Es wird unter der eigenen IP-Adresse (localhost) ein Socket erstellt. Dazu wird weiterhin ein Port benötigt, der im Quellcode vorgegeben wird. In diesem Beispiel wird der Port 12345 genutzt. Nach der Socketerstellung wartet der Server auf eine eingehende Verbindung. Verbindet sich ein Client wird die Chat-Funktion aufgerufen. Eine eingehende Nachricht wird in einem Buffer gespeichert, ausgewertet und in der Kommandozeile ausgegeben. Getestet werden kann dieser einfache Server mit netcat:

```
nc localhost 12345
```

Die Eingabe von PING im netcat Terminal sendet die Nachricht an den Server. Als Antwort wird ein PONG gesendet. Alle sonstigen Nachrichten werden in der Kommandozeile des Servers angezeigt, aber nicht beantwortet.

2.1.2 Teilaufgabe B

Im zweiten Aufgabenteil wird eine eigene Client Anwendung entwickelt. Außerdem wird der Server erweitert, sodass er mehrere Clienten verwalten kann. Über Fork wird jede Cli-

entverbindung in einen neuen Kindprozess ausgelagert. Dort wird dann die Chatfunktion wie in Aufgabenteil A ausgeführt. Der Hauptprozess kann dann weiterhin neue Verbindungen akzeptieren, da er nicht mehr durch die Bearbeitung der Chatfunktion blockiert ist.

Die Clientanwendung nutzt die gleichen Bibliotheken wie der Server. Es wird ein eigener Socket erstellt und anschließend eine Verbindung zum Server aufgebaut. IP und der Port des Servers werden im Quellcode vorgegeben. Bei mehreren Servern ist es sinnvoll den Code um eine Nutzereingabe zu ergänzen, die IP und PORT abfragt, wie es auch bei netcat umgesetzt ist.

Nach einer erfolgreichen Verbindung zum Server wartet das Clientprogramm auf eine Nutzereingabe und sendet diese an den Server. Gibt der Nutzer QUIT ein, wird die Verbindung vom Client geschlossen. Alle eventuellen Antworten vom Server werden auf der Kommandozeile ausgegeben. Die erstellte Clientanwendung kann mehrmals gestartet werden. Alle gestarteten Instanzen können Nachrichten an den Server senden und erhalten bei einem PING Kommando auch ein PONG.

2.1.3 Teilaufgabe C

Für die Implementierung der editierbaren Listenfunktion müssen neue Befehle im Server angelegt werden. Im Server wird ein Log eingeführt, dass alle ein und ausgehenden Nachrichten mit einem Zeitstempel abspeichert. Der Client kann dann das Log vom Server anfordern und den Text von einzelnen Einträgen verändern. Geänderte Einträge werden im Log markiert.

Die Behandlung des Log wird in einer eigenen Funktion umgesetzt und die bisherige Chat Funktion wird zur comm Funktion. Das Log besteht aus einem Array in dem insgesamt 100 Nachrichten gespeichert werden können. Die Log Funktion wird bei Empfang einer neuen Nachricht bzw. beim Versenden einer Antwort aufgerufen. Der Nutzer kann über GETLOG die Liste anfordern, EDITLOG *id text* bearbeitet den angegebenen Eintrag. Dadurch das für die Übertragung des Logs mehrere Nachrichten vom Server nacheinander gesendet werden müssen, muss der Nachrichtenempfang im Client geändert werden. Bisher erfolgt immer ein Wechsel zwischen senden und empfangen. Der Empfang wird um ein Timeout erweitert. Trifft 200 ms keine Nachricht mehr beim Client ein, wird zur Eingabe übergegangen. Dies funktioniert im lokalen Netzwerk ohne Probleme. Sollen die Anwendungen über größere Entfernung kommunizieren muss der Timeout erhöht oder ein anderes Konzept verwendet werden, die aktuelle Variante ist nur für kurze Nachrichtenlaufzeiten geeignet.

2.1.4 Teilaufgabe D

In der Teilaufgabe D wird die Server-Client Architektur in eine Peer-to-Peer Kommunikation umgewandelt. Für die Sockets wird weiterhin ein Verwalter benötigt. Der erste Aufruf der Anwendung startet den Serversocket. Im gleichen Terminal kann dann noch eine Clientverbindung aufgebaut werden, die die bekannten Befehle ausführen kann. Jeder weitere Aufruf gibt den Hinweis zurück, dass der Serversocket nicht erstellt werden konnte, da dieser schon belegt ist. Danach kann die Verbindung zum anderen Partner aufgebaut werden. Mit einem CONNECT *ip* kann die Verbindung hergestellt werden. Alternativ kann mit EXIT die Anwendung beendet werden.

Mit Threads werden die einzelnen zu erledigenden Aufgaben parallel ausgeführt. Der Serverthread wird nur vom ersten Aufruf gestartet, dort wird auch die bereits vorhanden comm Funktion aufgerufen. Alle weiteren Instanzen starten den Inputthread, der die Verbindungen zum Server aufbaut. Der Thread ruft dann eine Clientfunktion auf, die das bisherige separate Programm ersetzt.

2.2 Interprozesskommunikation

Für die IPC können mehrere Varianten gewählt werden. Für die Bearbeitung der nachfolgenden Aufgaben wurden Message Queues verwendet.

Message Queues verwalten Nachrichten wie verkettetet Listen. Die Listen verfügen über eine Kennung durch die sie durch Prozesse identifiziert werden können. Von einem Prozess gesendete Nachrichten werden gespeichert und können vom Partnerprozess abgerufen werden. Der Prozess kann seinerseits auch Nachrichten in der Queue ablegen. Standardmäßig arbeiten die Queues nach dem FIFO-Prinzip. Es gibt jedoch die Möglichkeit Nachrichten zu priorisieren, indem man ihnen einen eigenen Nachrichtentyp zuweist. Der Prozess sucht dann in der Liste nach der ersten Nachricht dieses Typs auch wenn sie ganz am Ende der Queue stehen sollte [2].

2.2.1 Teilaufgabe A und B

Diese Teilaufgaben erstellen die Grundstruktur für die Kommunikation. Für den Test des Mainprozess wird ein Subscriberprozess geschrieben, sodass die Aufgaben A und B gemeinsam gelöst werden.

Von der main-Anwendung wird eine Queue geöffnet über die die Subscriberprozesse den Hauptprozess erreichen können. Zum öffnen einer Queue wird ein eindeutiger Schlüssel benötigt. Der Funktion werden außerdem die Berechtigungen mitgegeben, die die geöffnete Queue haben soll. Bei Bedarf können so Listen erstellt werden, die nur gelesen werden können. Subscriber können dann über diesen Kanal keine Nachrichten senden. Die main-Anwendung wartet in einer Schleife auf eine neue Nachricht in der Queue. Die abgerufen Nachricht wird in einer Struktur gespeichert, die den Nachrichtentyp und den eigentlichen Nachrichtentext enthält. Der Nachrichtentext wird anschließend auf bestimmte Kommandos geprüft. Auf eine PING Nachricht wird mit einem PONG an den Subscriber geantwortet.

Die Subscriberanwendung greift auf die erstellte Queue von main zu. Der Nutzer kann über die Kommandozeile eine Nachricht eingeben, die dann in die Queue gesetzt wird. Eine Antworten des Hauptprozesses werden in der Kommandozeile ausgegeben.

2.2.2 Teilaufgabe C

Die bestehende Struktur aus Hauptanwendung und Subscribers wird nun so erweitert, dass jeder Subscriber eine eigene Queue öffnet über die er exklusiv mit der Hauptanwendung kommuniziert. Dazu wird in der Nachricht noch die Queue-ID des Clients übertragen, an die dann die Antwort erfolgt.

Zusätzlich wird noch ein Nachrichtenlog implementiert wie es auch in der Socketaufgabe verwendet wurde. Die Befehle werden nach dem gleichen Schema implementiert. Die Subscribersoftware muss so angepasst werden, dass mehrere Nachrichten in Folge abgerufen werden, bis die Queue leer ist. Dies ist so gestaltet, dass das abrufen nicht blockiert, also ebenfalls noch Nutzereingaben gemacht werden können. Die Bibliothek für die Queues stellt die benötigte Funktion bereit, sodass nicht mit Timeouts gearbeitet wird.

2.2.3 Teilaufgabe D

Abschließend wird die Struktur in eine Peer-to-Peer Kommunikation umgewandelt, sodass die Partner die gleichen Funktionen besitzen. Es gibt keine Hauptanwendung mehr, die die Kommunikation verwaltet. Beim Ausführen der Anwendung muss zum Start ein eindeutiger Schlüssel angegeben werden. Dieser war in den vorherigen Teilaufgaben immer fest definiert.

```
. \peer 123  
. \peer 456
```

Es wird der receive-Thread gestartet, der Nachrichten aus der Queue abruft und auf bestimmte Befehle prüft. Über die Befehle werden Funktionen aufgerufen wie z.B. PING oder das Anfordern und Bearbeiten einer Liste. In dieser Anwendung wird keine Log abgerufen wie bisher sondern eine von den Nutzern erstellte Liste, die lokal oder remote beim Kommunikationspartner geändert werden kann. Wie die Liste des Partners angefordert überschreibt dies immer die eigene lokale Liste. Zum Senden eines Befehls muss der Schlüssel der Gegenstelle an den Befehl an gehangen werden. Der eigene Schlüssel wendet den Befehl dann lokal an. Folgende Befehle können verwendet werden:

- ADD *item* fügt das eingegebene Element der eigenen Liste hinzu
- UPDATE *id newitem* ändert den angegeben Eintrag
- SHOW gibt die Liste aus

- GETLIST *key* fordert die Liste des Partners an
- SEND *key message* sendet dem angegebenen Partner die Nachricht. Mit SEND kann auch ein ADD an den Partner übertragen werden
- PING *key* sendet ein PING an den Partner

3 Grundkonzepte von ROS2 mit einem Versuchsroboter

Ziel dieses Kapitels ist es, die grundlegenden Konzepte und Arbeitsweisen von ROS 2 praxisnah zu erlernen und anhand eines Versuchsroboters schrittweise umzusetzen. Dazu werden zunächst die für das Praktikum erforderliche Arbeitsumgebung eingerichtet, die wesentlichen ROS 2-Komponenten erläutert und ein erstes eigenes Paket erstellt. Im weiteren Verlauf werden die Prinzipien der Kommunikation zwischen Nodes, Topics und Nachrichtenformaten anhand der *turtlesim*-Simulation demonstriert. Dieses Beispiel dient als Grundlage, um das Zusammenspiel zwischen Steuerkommandos, Nachrichtenübertragung und der Bewegung eines Roboters nachzuvollziehen.

Darauf aufbauend werden die gewonnenen Erkenntnisse später auf reale Hardware übertragen, indem ein ESP32-Mikrocontroller als Micro-ROS-Node in das System integriert wird. So entsteht ein durchgängiger Übergang von der Simulation im ROS-Umfeld hin zur physikalischen Roboterplattform, bei dem Konzepte wie Publisher/Subscriber-Kommunikation, Timings, QoS-Profile und Topic-Strukturen angewendet werden.

3.1 Erstinbetriebnahme

Nach der erfolgreichen Installation von ROS 2 Humble erfolgte die erste praktische Arbeit mit der vorinstallierten Simulationsumgebung *turtlesim*. Die *turtlesim*-Anwendung stellt eine virtuelle Schildkröte bereit, die über Geschwindigkeitsskommandos bewegt werden kann.

3.1.1 Grundprinzip von Nodes und Topics

In ROS basiert die Kommunikation auf einem Publish/Subscribe-Prinzip. Ein Publisher sendet Nachrichten an ein bestimmtes Topic, während ein oder mehrere Subscriber diese Nachrichten empfangen. Jede laufende Anwendung ist dabei eine Node.

Bei *turtlesim* gibt es beispielsweise die Node *turtlesim_node*, die das grafische Fenster und die Turtle darstellt, sowie die Node *teleop_turtle*, die Tastatureingaben des Benutzers in Geschwindigkeitsskommandos übersetzt. Mit den Tasten *W*, *A*, *S*, *D* lässt sich die Turtle

nach vorne, links, rückwärts und rechts bewegen. Dabei publiziert *turtle_teleop_key* fortlaufend Nachrichten vom Typ

geometry_msgs/msg/Twist an das Topic */turtle1/cmd_vel*, das wiederum von der Node *turtlesim_node* abonniert wird. Dieses Zusammenspiel bildet das klassische ROS-Kommunikationsschema aus Publisher, Subscriber und Topic ab.

3.1.2 Untersuchung der ROS-Kommunikation

ROS 2 stellt zahlreiche Befehle zur Analyse und Kontrolle der Systemkommunikation bereit, die in den ersten Schritten besonders hilfreich sind:

- *ros2 node list*

Zeigt alle aktuell laufenden Nodes an, z. B.:

```
/turtlesim  
/teleop_turtle
```

- *ros2 topic list*

Listet alle aktiven Topics auf. Typischerweise erscheinen u. a.:

```
/turtle1/cmd_vel  
/turtle1/pose
```

- *ros2 topic info /turtle1/cmd_vel*

Zeigt an, welcher Nachrichtentyp und welche Nodes an diesem Topic beteiligt sind (Publisher/Subscriber).

- *ros2 topic echo /turtle1/cmd_vel*

Gibt die in Echtzeit übertragenen Nachrichten auf der Konsole aus. Dadurch kann beobachtet werden, welche linearen und rotatorischen Geschwindigkeiten beim Drücken einer Taste publiziert werden.

- *ros2 interface show geometry_msgs/msg/Twist*

Zeigt den Aufbau der *Twist*-Nachricht, die aus den Vektoren *linear* (für Vorwärts-/Rückwärtsbewegung) und *angular* (für Rotationen) besteht.

Diese Befehle verdeutlichen die lose Kopplung der ROS-Komponenten und erleichtern das Verständnis, wie Daten in einem ROS-System fließen.

Nach dem erfolgreichen Start der *turtlesim*-Simulation wurden eigene Nodes erstellt, die selbstständig Nachrichten an das Topic */turtle1/cmd_vel* senden. Dadurch konnte die

Turtle automatisiert bewegt werden. Dieses Vorgehen bildet die Grundlage für komplexe Szenarien, wie etwa die spätere Übertragung derselben Steuerbefehle an den realen Roboter.

4 TurtleBot mit ESP32

4.1 Arbeitsumgebung

Die Implementierung und Inbetriebnahme des Micro-ROS-Systems erfolgte nativ unter **Ubuntu 22.04.5 LTS**. Die grundlegende Installation der benötigten Softwarekomponenten wie *ROS 2 Humble*, der *Micro-ROS-Agent* sowie die Einbindung von *PlatformIO* in *Visual Studio Code* erfolgte gemäß der offiziellen Praktikumsanleitung [3]. Im Folgenden werden daher weniger die Installationsschritte selbst beschrieben, sondern vielmehr die Erkenntnisse und Besonderheiten der praktischen Arbeitsumgebung zusammengefasst.

4.1.1 Betriebssystem und Systemkonfiguration

Da die Arbeit auf einem nativen Ubuntu-System ausgeführt wurde, war keine zusätzliche Virtualisierung notwendig. Dies bot Vorteile hinsichtlich der direkten Hardwareambindung, insbesondere bei der seriellen Kommunikation mit dem ESP32. Während der Einrichtung stellte sich heraus, dass unter Ubuntu 22.04 standardmäßig bestimmte Kernelmodule geladen werden, die mit der seriellen Kommunikation über USB kollidieren. Insbesondere der *Braille-Treiber (brltty)* beansprucht häufig automatisch USB-Serial-Geräte (z.B. */dev/ttyUSB0*), wodurch keine Verbindung zu Mikrocontrollern aufgebaut werden kann. Das Deinstallieren bzw. Deaktivieren dieses Dienstes war zwingend erforderlich, um eine stabile Verbindung mit dem ESP32 herstellen zu können:

```
sudo apt remove brltty
```

Weiterhin muss der Benutzer dem System die Berechtigung geben, auf serielle Schnittstellen zuzugreifen. Dies geschieht über die Zuweisung zur Benutzergruppe *dialout*:

```
sudo usermod -a -G dialout $USER
```

Nach dieser Änderung ist eine Ab- und erneute Anmeldung erforderlich, damit die neuen Gruppenrechte aktiv werden.

4.1.2 Entwicklungsumgebung PlatformIO

Die Firmware wurde in der Entwicklungsumgebung **PlatformIO** erstellt und über die serielle Schnittstelle direkt auf den ESP32 geflasht. PlatformIO bietet im Vergleich zur Arduino-IDE eine deutlich bessere Integration in ROS-Projekte, da Bibliotheken wie *micro_ros_platformio* komfortabel über die Projektkonfiguration (*platformio.ini*) eingebunden werden können.

Im praktischen Einsatz zeigte sich, dass beim Flashen des Mikrocontrollers über USB der serielle Monitor zunächst geschlossen sein muss, da andernfalls der Zugriff auf den Port blockiert ist. Ebenso hilfreich war es, den automatischen Neustart (*monitor_dtr* und *monitor_rts*) in der Konfiguration vorübergehend zu deaktivieren, falls das Board während des Uploads nicht zuverlässig in den Bootloader-Modus wechselte.

4.1.3 Netzwerk- und Agentumgebung

Die Kommunikation zwischen Laptop und Roboter erfolgte über WLAN im *Station Mode* des ESP32. Als Micro-ROS-Agent diente das lokale Ubuntu-System, auf dem die UDP-Verbindung über den Port 8888 bereitgestellt wurde. Da der Laptop selbst als WLAN-Hotspot fungierte, konnte eine stabile Punkt-zu-Punkt-Verbindung hergestellt werden, ohne die Hochschulnetzwerke zu belasten. Diese Konfiguration erwies sich als zuverlässig und reproduzierbar, insbesondere für Tests mit wiederholtem Re-Flashen und Neustarten des Controllers.

Auf Seiten des ESP32 mussten die WLAN-Zugangsdaten und die Agent-IP-Adresse direkt im Programmcode angepasst werden, um die Verbindung herzustellen:

```
#define WIFI_SSID "ROS_Net"
#define WIFI_PASSWORD "EZMR"
#define AGENT_IP_STR "10.42.0.1"
#define AGENT_PORT 8888
```

Zusätzlich war in der Datei *platformio.ini* sicherzustellen, dass die Micro-ROS-Bibliothek eingebunden und der richtige Transportmechanismus aktiviert ist:

```
lib_deps = https://github.com/micro-ROS/micro_ros_platformio
board_microros_distro = humble
```

```
board_microros_transport = wifi
```

Im Code selbst erfolgte die Initialisierung des Micro-ROS-Transports anschließend über:

```
set_microros_wifi_transports((char*)WIFI_SSID, (char*)WIFI_PASSWORD,  
agent_ip, AGENT_PORT);
```

Diese Parameter legten fest, dass die Kommunikation nicht über USB-Serial, sondern direkt über WLAN mittels UDP-Paketen zwischen ESP32 und Micro-ROS-Agent auf dem Laptop abgewickelt wurde. Damit war der Datenaustausch über */cmd_vel* in Echtzeit möglich und das System blieb auch nach Neustarts oder Re-Upserts des Controllers stabil verbunden.

4.1.4 Erkenntnisse

Während der Arbeit wurde deutlich, dass die Einrichtung der Entwicklungsumgebung zwar durch die Anleitung gut beschrieben ist, in der Praxis aber häufig systemabhängige Details den Fortschritt behindern können. Insbesondere der Umgang mit USB-Geräten unter Linux erfordert systemseitige Konfiguration, da schon ein belegter Port oder ein falsch gesetztes Gruppenrecht dazu führen kann, dass der Micro-ROS-Agent keine Verbindung zum ESP32 aufbauen kann. Nach erfolgreicher Systemkonfiguration verlief die Entwicklung stabil, und PlatformIO erwies sich als zuverlässige Plattform für den kontinuierlichen Test- und Upload-Prozess.

4.2 Turtlesim Teleop

4.2.1 Micro-ROS-Struktur und Node-Konfiguration

Der ESP32 agiert als *Micro-ROS Node* und abonniert das Topic */cmd_vel*, das Geschwindigkeitsbefehle vom ROS 2-System enthält. Diese werden als Nachrichten des Typs *geometry_msgs/msg/Twist* per WLAN-Hotspot, mit welchem sich der TurtleBot verbündet, übertragen und bestehen aus einer linearen und einer angularen Komponente. Auf dem Host-PC wird der Micro-Ros Agent in einem separaten Terminal gestartet.

```
ros2 run micro_ros_agent micro_ros_agent udp4 --port 8888
```

Die Node verarbeitet die Bewegungsdaten innerhalb einer Callback-Funktion, die bei jedem neuen Nachrichtenempfang ausgelöst wird. Dadurch werden nur dann Befehle an den Roboter gesendet, wenn tatsächlich eine neue Nachricht vorliegt. So wird die Kommunikationslast auf dem UART reduziert und vermeidet unnötige Wiederholungen.

4.2.2 Kommunikation Motorcontroller

Die Steuerung der Antriebe erfolgt über zwei ATTiny-basierte Motorcontroller, die über UART (9600 Baud, 8N1) mit dem ESP32 verbunden sind. Beide Motoren besitzen eine eigene Adresse (*0x01* für links, *0x02* für rechts) und werden über ein einheitliches Protokoll angesprochen:

[Startbyte] [ID] [Mode] [Dir] [Param_High] [Param_Low]

Das Nachrichtenformat beginnt mit einem festen Startbyte *0xAA*, gefolgt von der Motor-ID und dem Betriebsmodus. *Dir* legt die Drehrichtung fest, während die *Param_High* und *Param_Low* die Geschwindigkeit kodieren. Dabei wird nur das niederwertige Byte (*Param_Low*) aktiv genutzt, um Werte im Bereich von *0x10* (langsam) bis *0x02* (schnell) abzubilden.

Der Modus *Mode = 1* steht für den Dauerlauf, während *Mode = 0* den Schrittmodus aktiviert. Bei einem Stoppbefehl wird *Mode = 0* mit *Param_Low = 0x00* übertragen, wodurch der Motor unmittelbar anhält, ohne eine Restbewegung auszuführen.

4.2.3 Implementierungsdetails

Die Verarbeitung der */cmd_vel* - Nachrichten erfolgt in der Callback-Funktion, die den linearen und den angularen Geschwindigkeitsanteil in Radgeschwindigkeiten umrechnet. Die Kinematik des Roboters basiert auf einem Differentialantrieb mit einem Radabstand von 0,168 m und einem Radradius von 0,042 m. Der folgende Zusammenhang wird verwendet:

$$\begin{aligned}v_r &= v + \omega \cdot b \\v_l &= v - \omega \cdot b\end{aligned}$$

wobei v die lineare und ω die Winkelgeschwindigkeit ist, v_r und v_l die jeweiligen Radgeschwindigkeiten, und b der halbe Spurabstand.

Zusätzlich wurde eine Verstärkungslogik implementiert, um Drehbewegungen auf der Stelle zu beschleunigen. Wird erkannt, dass die lineare Geschwindigkeit nahezu null ist ($|v| < 0.05$) und eine signifikante Drehgeschwindigkeit ($|\omega| > 0.01$) anliegt, wird die Winkelgeschwindigkeit mit einem Faktor von drei multipliziert. Dadurch reagiert der Roboter beim Drehen deutlich agiler, ohne das allgemeine Fahrverhalten zu verändern.

4.2.4 Fehlerquellen und Besonderheiten

Während der Entwicklung traten wiederholt Probleme mit der Synchronisation zwischen ROS-Agent und ESP32 auf, insbesondere bei WLAN-Reconnects oder unvollständigen Uploads. Hier waren einfache Neustarts der Hardware und das Drücken des Enable-Tasters des ESP32 wirksam.

Besonders zu beachten ist die korrekte Verwendung der Tastatursteuerung für die *turtlesim*-Simulation. Wird das Standardprogramm *turtle_teleop_key* gestartet, kommuniziert es direkt mit der *turtlesim_node*, wodurch keine Nachrichten an das Topic */turtle1/cmd_vel* weitergeleitet werden. Für die Integration mit dem eigenen Node (bzw. mit dem realen Roboter) muss daher folgender Befehl verwendet werden:

```
ros2 run teleop_twist_keyboard teleop_twist_keyboard --ros-args -r  
/cmd_vel:=/cmd_vel
```

Nur mit diesem Aufruf werden die Steuerbefehle als *geometry_msgs/msg/Twist*-Nachrichten auf das Topic */turtle1/cmd_vel* publiziert und können somit korrekt vom eigenen *cmd_vel*-Subscriber empfangen und umgesetzt werden.

Alternativ kann das Problem auch durch ein sogenanntes Topic Remapping gelöst werden. Dabei wird beim Start einer Node das Ziel-Topic dynamisch umbenannt. So kann die Standardsteuerung von *turtlesim* weiterhin verwendet werden, während die Befehle automatisch an das gewünschte Topic weitergeleitet werden:

```
ros2 run turtlesim turtle_teleop_key --ros-args -r  
/turtle1/cmd_vel:=/cmd_vel
```

Diese Methode ist besonders praktisch, wenn dieselbe Node sowohl in der Simulation als auch auf einem realen Roboter eingesetzt werden soll, da keine Änderungen am Quellcode notwendig sind.

Ergebnisse

Das System reagierte stabil und nachvollziehbar auf die von der Tastatursteuerung gesendeten Befehle. Die Integration über Micro-ROS erwies sich dabei als effizient, da nur bei tatsächlichem Empfang neuer Nachrichten UART-Kommandos an die Motorcontroller weitergeleitet wurden. Dies reduzierte die Kommunikationslast erheblich und trug zu einem gleichmäßigen Fahrverhalten bei.

Die Implementierung der zeitbasierten Logik für das Drehen auf der Stelle erwies sich als praktikabel und führte zu einer deutlich dynamischeren Reaktion des Roboters. Das gewählte Kommunikationsschema mit *Mode*- und *Param*-Bytes ermöglichte eine effektive Übersetzung der ROS-Twist-Nachrichten in serielle Steuerkommandos.

4.3 Abfahren von Polygonen

Zur Überprüfung der Funktionsfähigkeit der Implementierung wurde zunächst die *turtlesim*-Simulation genutzt und anschließend das gleiche Steuerungsskript auf den realen Roboter übertragen. Die entwickelte Node *shape_ESP_Turtle.py* wird auf dem PC gestartet und publiziert periodisch Geschwindigkeitsbefehle an das Topic */cmd_vel*, wodurch die Turtle oder der Roboter ein vorgegebenes geometrisches Muster abfährt. Das Verhalten der Simulation diente dabei als Referenz für die physische Plattform.

Zur reproduzierbaren Bewegung der Turtle (bzw. eines realen Roboters mit identischem Interface) wurde ein Python-Knoten *ShapeDriver* implementiert. Der Knoten publiziert zeitbasiert Geschwindigkeitsbefehle an ein konfigurierbares */cmd_vel* - Topic und lässt die Turtle wahlweise ein Dreieck oder ein Viereck abfahren. Das Skript ist generisch gehalten (Themenname, Kantenlänge, lineare- und Winkelgeschwindigkeit sind parametrierbar) und arbeitet vollständig timergesteuert.

4.3.1 Ziel und Aufbau

Der Knoten erbt von `rclpy.node.Node` und erstellt einen Publisher `geometry_msgs/msg/Twist` auf dem konfigurierten Topic (Standard: `/turtle1/cmd_vel`). Ein periodischer ROS-Timer (20 Hz) ruft die Steuerfunktion auf und publiziert in jeder Periode entweder eine reine Vorwärtsfahrt (gerade Strecke) oder eine reine Drehung (Ecken). Die gewünschte Form wird über das Argument `shape` gewählt (`square` oder `triangle`).

4.3.2 Steuerlogik

Die Bewegung wird als endliche Zustandsmaschine mit zwei Phasen modelliert:

- **straight:** Vorwärtsfahrt mit Geschwindigkeit v_{lin} während der Dauer t_{straight} .
- **turn:** Drehung auf der Stelle mit Winkelgeschwindigkeit v_{ang} mit Dauer t_{turn} .

Die Zeiten werden aus Geometrie und Geschwindigkeiten berechnet:

$$t_{\text{straight}} = \frac{\text{Kantenlänge}}{v_{\text{lin}}}, \quad \alpha = \frac{2\pi}{N}, \quad t_{\text{turn}} = \frac{\alpha}{v_{\text{ang}}},$$

wobei $N \in \{3,4\}$ die Anzahl der Kanten (Dreieck/Viereck) ist und α der Außenwinkel zwischen zwei Kanten. Die Phasen wechseln, sobald die jeweilige Sollzeit durch die Timer-Takte kumulativ erreicht ist. Nach N vollständigen Kanten wird explizit `Twist(0,0)` gesendet, der Timer gestoppt und die Node sauber beendet.

4.3.3 Implementierungsdetails

- **Zeitdiskretisierung:** Die Steuerfrequenz beträgt 20 Hz (`rate_hz=20`), d. h. die Timer-Periode ist $\Delta t = 0.05$ s. Eine interne Uhr zählt `phase_time` in Schritten von Δt , bis t_{straight} bzw. t_{turn} erreicht ist.
- **Robustheit der Parameter:** Die lineare und Winkelgeschwindigkeit werden als Beträge verarbeitet (Vorzeichen wird nicht benötigt, da für Drehungen immer links/herum gedreht wird). Divisionen sind durch `max(v, 1e-6)` gegen $v = 0$ abgesichert.
- **Formwahl:** `shape` akzeptiert `square/rectangle` ($N = 4$) sowie `triangle` ($N = 3$). Daraus wird $\alpha = 2\pi/N$ abgeleitet.

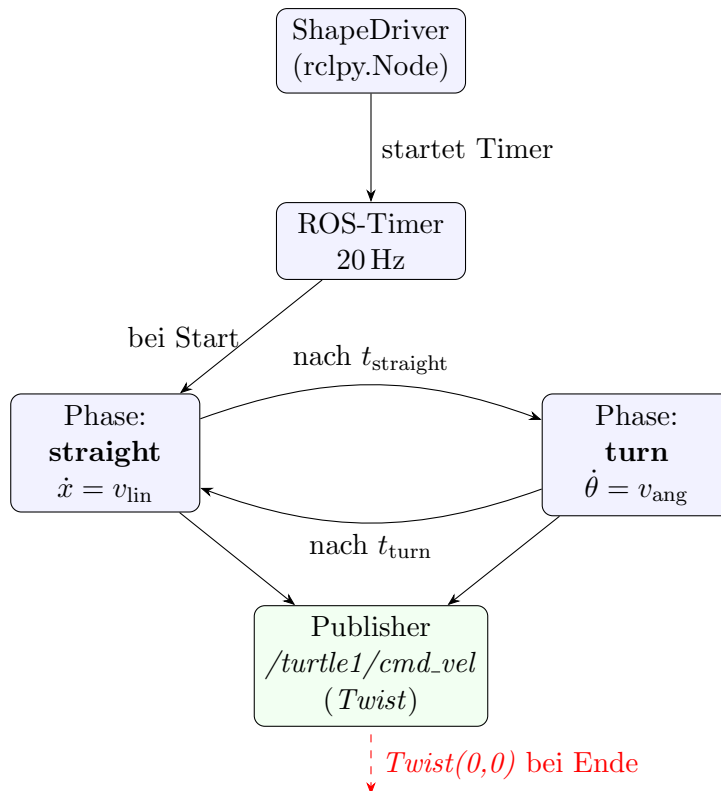


Abbildung 1: Funktionsprinzip der zeitbasierten Steuerung des *ShapeDriver*-Knotens.

- **Topic-Name:** Das Ausgabefeld ist frei wählbar (*-topic*), sodass derselbe Knoten sowohl die *turtlesim* (*/turtle1/cmd_vel*) als auch reale Roboter (*/cmd_vel*) bedienen kann.
- **Sauberer Beenden:** Nach Abschluss der letzten Drehphase wird ein Stopp (*linear.x=0, angular.z=0*) publiziert, der Timer gecancelt und *rclpy.shutdown()* aufgerufen, um Ressourcen freizugeben.

4.3.4 Aufruf und Parametrisierung

Der Knoten akzeptiert Kommandozeilenargumente (über *argparse*):

- **-shape** (*square/viereck/triangle/dreieck*), Standard: *square*
- **-side** Kantenlänge (Turtlesim-Einheiten), Standard: *2.0*
- **-v_lin** lineare Geschwindigkeit in m/s, Standard: *1.0*
- **-v_ang** Winkelgeschwindigkeit in rad/s, Standard: *2.0*
- **-topic** Ausgabetopic (z. B. */turtle1/cmd_vel* oder */cmd_vel*)

Typische Aufrufe:

- Viereck, Kante 2.0, Standardgeschwindigkeiten, Turtlesim:

```
ros2 run <paketname> <executable> -- --shape square --side 2.0
--topic /turtle1/cmd_vel
```

- Dreieck, etwas langsamer, realer Roboter:

```
ros2 run <paketname> <executable> -- --shape triangle --side 0.8
--v_lin 0.5 --v_ang 1.5 --topic /cmd_vel
```

4.3.5 Beobachtungen

In Abbildung 2 folgt die Turtle der Turtlesim der Form erwartungsgemäß. Kleine Abweichungen können durch die zeitdiskrete Approximation (Timer-Raster) und die Integration der Geschwindigkeiten entstehen. Auf realer Hardware weichen die Trajektorien erfahrungsgemäß stärker ab (u. a. durch Schlupf, Latenzen, nichtlineare Antriebskennlinien). Für reproduzierbarere Ergebnisse wäre eine schritt- oder sensorbasierte Regelung sinnvoll.

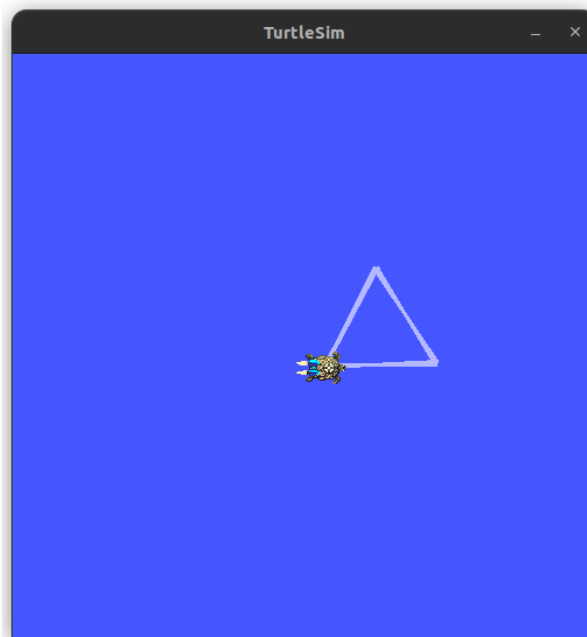


Abbildung 2: Fahrspur der Turtlesim-Node

4.4 Sensorintegration: Bumper mit Host-seitiger Sicherheitslogik

4.4.1 Zielsetzung

Ziel ist eine robuste Kollisionsreaktion, die ohne eigenständige lokale Autonomie auf dem Mikrocontroller auskommt. Der ESP32 übernimmt dabei ausschließlich die Erfassung der Bumper-Zustände und deren Publikation in das ROS-Netzwerk sowie die Ausführung eingehender Fahrbefehle vom Host-PC. Die *Safety Node* auf dem Host-System überwacht fortlaufend die Bumper-Signale, filtert die Teleop-Kommandos und greift im Kollisionsfall aktiv ein. Wird ein Bumper ausgelöst, führt die Node automatisch ein definiertes Ausweichmanöver aus: zunächst eine kurze Rückwärtsfahrt, anschließend ein gezieltes Wegdrehen, gefolgt von einem Stopp und der kontrollierten Rückgabe der Steuerung an den Agent.

4.4.2 Systemübersicht und Topics

- **Teleoperator** (Host): publiziert Rohbefehle auf `/cmd_vel_raw`.
- **Safety-Node** (Host):
 - Subscript `/cmd_vel_raw` (*geometry-msgs/Twist*) und `/bumper/state` (*std_msgs/UInt8*).
 - Publiziert `/cmd_vel` (*geometry-msgs/Twist*) an den Roboter.
- **ESP32** (Turtle):
 - Publiziert `/bumper/state` (Bitmaske: Bit0=links, Bit1=rechts, 1=gedrückt).
 - Subscript `/cmd_vel` und setzt die Fahrbefehle per UART auf die Motorcontroller um.

Zur Sicherstellung einer stabilen Kommunikation werden alle relevanten Topics mit der Quality-of-Service-Einstellung *RELIABLE* und *KEEP_LAST* betrieben. Damit wird garantiert, dass keine Nachrichten verloren gehen und stets nur die jeweils aktuellste Nachricht im Puffer gehalten wird. Der ESP32 veröffentlicht das Topic `/bumper/state` bei jeder Zustandsänderung der Bumper (Abfragefrequenz 200 Hz mit kurzer Entprellzeit). Die Safety-Node auf dem Host-PC sendet während einer aktiven Übersteuerung regelmäßig Befehle mit 100 Hz, um ein gleichmäßiges Bewegungsverhalten sicherzustellen.

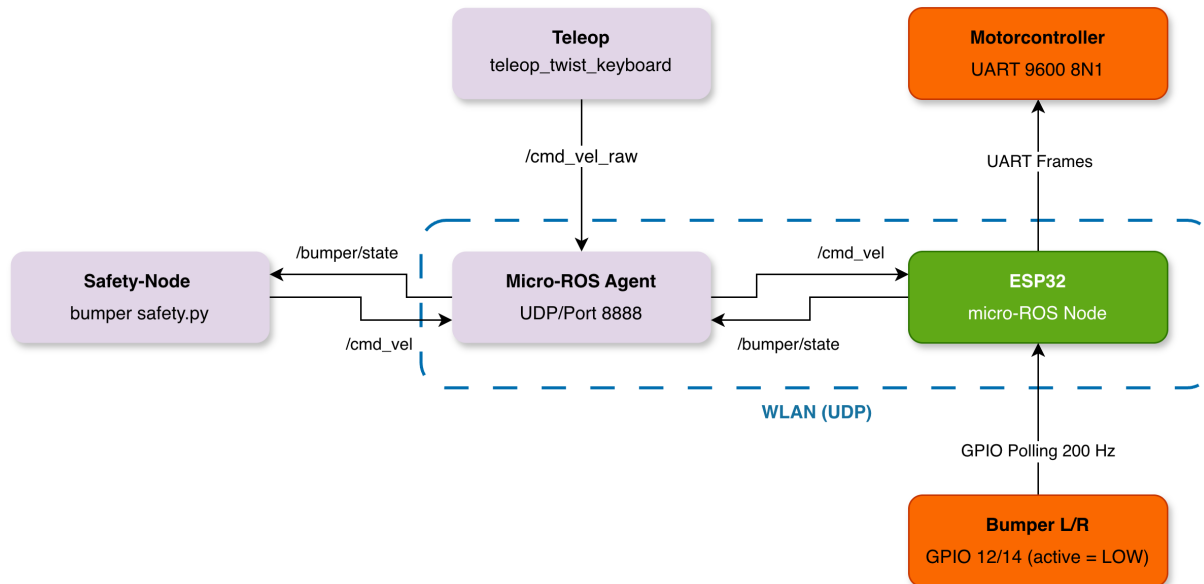


Abbildung 3: Blockdiagramm der Systemarchitektur

4.4.3 Implementierung

ESP32 (Client)

- GPIOs: *Bumper links* = GPIO12, *Bumper rechts* = GPIO14, jeweils *INPUT_PULLUP* (active-LOW).
- Publisher: `/bumper/state` (*std_msgs/UInt8*, Bitmaske: *0x01* links, *0x02* rechts, *0x03* beide).
- Subscriber: `/cmd_vel` (*geometry_msgs/Twist*); Umsetzung auf UART-Frames für die Motorcontroller (unverändert).
- Polling/Publish: Timer 5 ms (200 Hz), Debounce \approx 10 ms; Publish nur bei Zustandsänderung.

Safety-Node (Host, `bumper_safety.py`)

- Abonniert `/bumper/state` und `/cmd_vel_raw`, publiziert `/cmd_vel`.
- **Ablauf beim Event:** (1) Rückwärtsfahrt (konstantes v_{back}) für t_{back} , (2) Drehung (konstantes ω_{turn}) für t_{turn} ; Drehrichtung gemäß Bumper: links gedrückt \rightarrow rechts drehen, rechts gedrückt \rightarrow links drehen, beide \rightarrow rechts drehen (Default).
- Am Ende: **Stop** publizieren, danach **Sperrphase** t_{hold} (Teleop wird ignoriert); optional erst Freigabe, wenn `/cmd_vel_raw` einmal 0/0 sendet.

- Taktung: 100 Hz während der Übersteuerung, sofortiges erstes Override-Kommando beim Event (minimale Latenz).

4.4.4 Parameter der Safety-Node

Alle Parameter können zur Laufzeit per `-ros-args -p` gesetzt werden:

Name	Bedeutung	Default
<code>back_speed</code>	Rückwärtsgeschwindigkeit v_{back} [m/s]	-0.25
<code>back_time</code>	Dauer der Rückwärtsfahrt t_{back} [s]	2.25
<code>turn_speed</code>	Drehgeschwindigkeit ω_{turn} [rad/s]	1.2
<code>turn_time</code>	Dauer der Drehung t_{turn} [s]	2.0
<code>hold_time</code>	Sperrphase nach Manöverende [s]	0.8
<code>require_zero_to_resume</code>	Freigabe erst nach Stoppkommando (0/0)	true
<code>raw_cmd_topic</code>	Eingangs-Topic (Teleop-Steuerung)	/cmd_vel_raw
<code>out_cmd_topic</code>	Ausgangs-Topic (Robotersteuerung)	/cmd_vel
<code>bumper_topic</code>	Eingang für Bumper-Zustände	/bumper/state

4.4.5 Ergebnis

Mit der finalen Konfiguration reagiert der Roboter spürbar schneller auf Bumperkontakte. Das Event löst unmittelbar eine Rückwärtsbewegung aus, gefolgt von einer Ausweichdrehung in entgegengesetzte Richtung. Am Ende wird ein explizites Stop-Kommando gesendet, anschließend blockiert eine kurze Sperrphase neue Teleop-Befehle. Optional muss die Teleop einmal ein *Null*-Kommando senden, bevor die Steuerung wieder freigegeben wird. Die Fahrbefehle laufen ausschließlich über die Safety-Node (Teleop → `/cmd_vel_raw` → Safety → `/cmd_vel`).

4.4.6 Probleme

Leider konnte die Ursprüngliche Idee, die Integration des Ultraschallsensors nicht erfolgen, da durch ungeklärte Umstände, keine Informationen an den Sensor gesendet werden

konnten. Der verwendete Ultraschallsensor war auf einer fest verlöteten Platine integriert, weshalb keine detaillierten Informationen zur internen Beschaltung vorlagen. Insbesondere die exakte Signalführung des *ECHO*-Pins konnte nicht überprüft werden, da kein Zugriff auf die Platinenrückseite bestand. Dadurch war es nicht möglich, das Pegelverhalten des Sensors direkt zu verifizieren oder gegebenenfalls mit einem Spannungsteiler anzupassen. In Folge dessen konnte mit dem Testskript kein gültiges Echo-Signal detektiert werden, obwohl die Ansteuerung über den *TRIG*-Pin funktionierte.

5 Steuerung eines professionellen Roboters mit ROS2

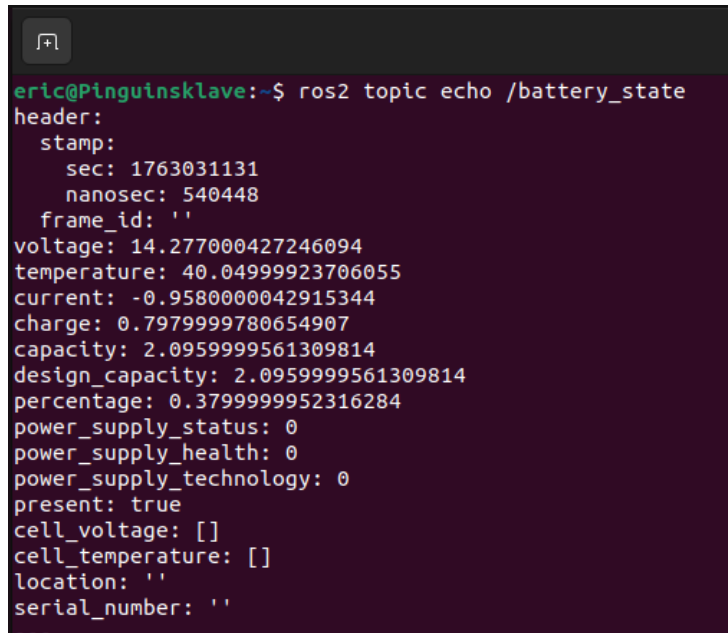
Nach der Auseinandersetzung mit den grundlegenden Konzepten von ROS 2 anhand eigener Nodes und einer virtuellen Umgebung erfolgte im nächsten Schritt die Übertragung dieses Wissens auf einen professionellen TurtleBot 4. Dieser Roboter basiert auf einer iRobot Create 3 Plattform und stellt eine umfangreiche Sensorausstattung sowie eine vollständige ROS 2-Integration bereit. Dadurch ähneln die Arbeitsweisen zwischen dem zuvor verwendeten Praktikums-Roboter und dem TurtleBot 4 zwar konzeptionell, unterscheiden sich jedoch deutlich in Zuverlässigkeit, Funktionalität und Komplexität.

Nach dem Einschalten verbindet sich der TurtleBot automatisch mit dem vorgesehenen WLAN und startet mehrere ROS-Nodes, die die gesamte Sensorik und Motorik bereitstellen. Typischerweise werden unmittelbar nach dem Booten zahlreiche Topics erzeugt, unter anderem für Laserscans, Odometrie, IMU-Daten, Docking-Informationen und die verschiedenen Gefahren- beziehungsweise Bumper-Ereignisse über das Topic `/hazard_detection`. Für die Ansteuerung der Motoren dient – wie im eigenen System – das Topic `/cmd_vel`, das Nachrichten des Typs `geometry_msgs/msg/Twist` entgegennimmt. Bereits diese Struktur zeigt, wie stark der TurtleBot den zuvor erlernten ROS-Konzepten entspricht. Die zuvor entwickelten Steuerknoten konnten weitgehend ohne große Änderungen übernommen werden.

Abbildung 4 zeigt exemplarisch die Ausgabe des Topics `/battery_state`. Der TurtleBot 4 stellt darüber periodisch detaillierte Informationen zur aktuellen Energieversorgung bereit. Die Daten umfassen unter anderem die gemessene Akkuspannung, die Temperatur des Batteriemoduls, den Lade- oder Entladestrom sowie den geschätzten Ladezustand in Prozent. Zusätzlich enthält die Nachricht Angaben zur maximalen Batteriekapazität, zur Nennkapazität und zu verschiedenen Zustandsindikatoren wie dem `power_supply_status` oder dem `power_supply_technology`.

Die periodische Beobachtung des `/battery_state`-Topics erwies sich im Praktikum als unerlässlich. Insbesondere zeigte sich, dass der TurtleBot 4 bei niedrigen Akkuständen automatisch bestimmte Funktionen einschränkt oder das Docking-Verhalten priorisiert. Die Arbeit wurde mehrfach unterbrochen, da der Ladezustand des Akkus nicht ausreichend hoch war, um sichere Navigation oder SLAM-Operationen zu gewährleisten. Die Echtzeitüberwachung des Battery-State ermöglichte es jedoch, diese Situationen frühzeitig zu erkennen und den Roboter rechtzeitig zum Dock zurückzubringen.

Vor dem praktischen Einsatz wurde das offizielle Benutzerhandbuch des TurtleBot 4 ver-



```
eric@Pinguinsklave:~$ ros2 topic echo /battery_state
header:
  stamp:
    sec: 1763031131
    nanosec: 540448
  frame_id: ''
voltage: 14.277000427246094
temperature: 40.04999923706055
current: -0.9580000042915344
charge: 0.7979999780654907
capacity: 2.0959999561309814
design_capacity: 2.0959999561309814
percentage: 0.3799999952316284
power_supply_status: 0
power_supply_health: 0
power_supply_technology: 0
present: true
cell_voltage: []
cell_temperature: []
location: ''
serial_number: ''
```

Abbildung 4: Blockdiagramm der Systemarchitektur

wendet, sowie die Simulationsumgebung genutzt, um den Roboter virtuell zu steuern und die Sensordaten zu visualisieren. Die gewonnenen Kenntnisse erleichterten die spätere Arbeit im Labor, da viele Abläufe – etwa das Starten der Nodes, die Nutzung von RViz oder der Umgang mit `/cmd_vel` bereits vertraut waren. Die grundlegenden Elemente der Teleoperation ließen sich direkt aus der Simulation übernehmen: Auch auf dem TurtleBot erfolgt die manuelle Steuerung über ein anpassbares *Twist*-Topic. Wichtig war hierbei die korrekte Verwendung von Remapping, da nur der Befehl

```
ros2 run teleop_twist_keyboard teleop_twist_keyboard \
--ros-args -r /cmd_vel:=/cmd_vel_raw
```

die Daten so publiziert, dass der eigene Safety-Knoten sie abfangen und weiterverarbeiten konnte.

Im praktischen Teil wurden der TurtleBot 4 zunächst manuell bewegt und anschließend in RViz visualisiert. Die Laserscan-Daten ermöglichten eine direkte Rücksicht auf die Umgebungsstruktur, und über die Kommandozeile konnten sämtliche Topics live analysiert werden. Besonders hilfreich war dies für das Verständnis des `/hazard_detection`-Topics, das im Gegensatz zu einfachen mechanischen Bumpern ein Vektor mehrerer Sensortypen enthält, darunter Front-, Seiten- und Cliff-Sensoren. Der TurtleBot publiziert diese Ereignisse zuverlässig und mit hoher Frequenz; daraus konnte die eigene Bumper-Safety-Logik direkt implementiert werden.

Ein zentrales Experiment war die Erstellung einer zweidimensionalen Umgebungskarte mittels SLAM. Während der TurtleBot die Fläche systematisch abfuhr, wurden die Messwerte des 2D-Laserscanners fortlaufend zu einer konsistenten Karte zusammengesetzt. Die Ergebnisse waren insgesamt stabil: Wände, Schränke oder andere größere Objekte wurden deutlich und zuverlässig erfasst. Auffällig war lediglich, dass sehr dünne Strukturen – etwa Stuhlbeine oder schmale Tischkanten – häufig nur unvollständig oder aus bestimmten Winkeln überhaupt sichtbar wurden. Dieses Verhalten ist typisch für 2D-LiDAR-Sensorik, da feine Objekte nur einen kleinen Teil des Messstrahls reflektieren. Trotz dieser Einschränkungen zeigte der TurtleBot eine robuste Lokalisierung. Selbst nach manueller Verschiebung fand er sich schnell wieder in der zuvor erzeugten Karte zurecht und konnte zuverlässig zu vorgegebenen Zielpunkten navigieren.

Abbildung 5 zeigt einen exemplarischen Ausschnitt der aufgenommenen Karte.

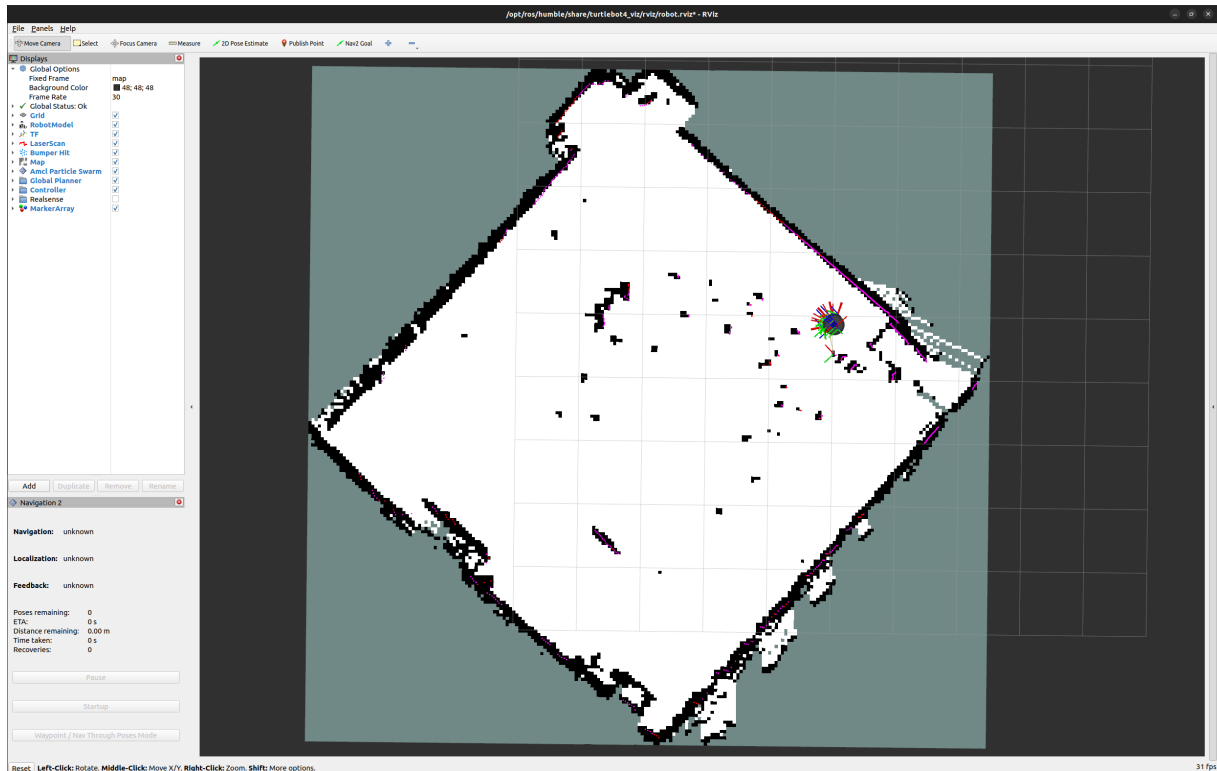


Abbildung 5: Blockdiagramm der Systemarchitektur

Auf Grundlage der zuvor erstellten Karte konnte der TurtleBot anschließend autonom navigieren. Die Navigation nutzte die SLAM-Karte, um Hindernisse zu vermeiden und definierte Zielpunkte sicher anzufahren. Insgesamt zeigte der Roboter ein zuverlässiges Verhalten: Größere Objekte und klar strukturierte Hindernisse wurden präzise erkannt und sicher umfahren. Kleinere oder sehr dünne Objekte blieben gelegentlich unentdeckt, beeinflussten die Navigation jedoch kaum, da der interne Navigationsstack des TurtleBot

konservativ ausgelegt ist und Kollisionen weitgehend vermeidet.

Abbildung 6 zeigt den TurtleBot während der autonomen Navigation auf der zuvor erzeugten Karte. Die Lokalisierung erfolgt dabei kontinuierlich über die Sensordaten des 2D-LiDARs, sodass die Roboterpose im RViz-Fenster jederzeit sichtbar ist. Besonders eindrucksvoll war die Fähigkeit des TurtleBot, nach einer manuellen Verschiebung seine Position rasch wiederzufinden und sich korrekt in der Karte einzurichten. Dieses Verhalten unterstreicht die Robustheit des integrierten SLAM- und Lokalisierungssystems.

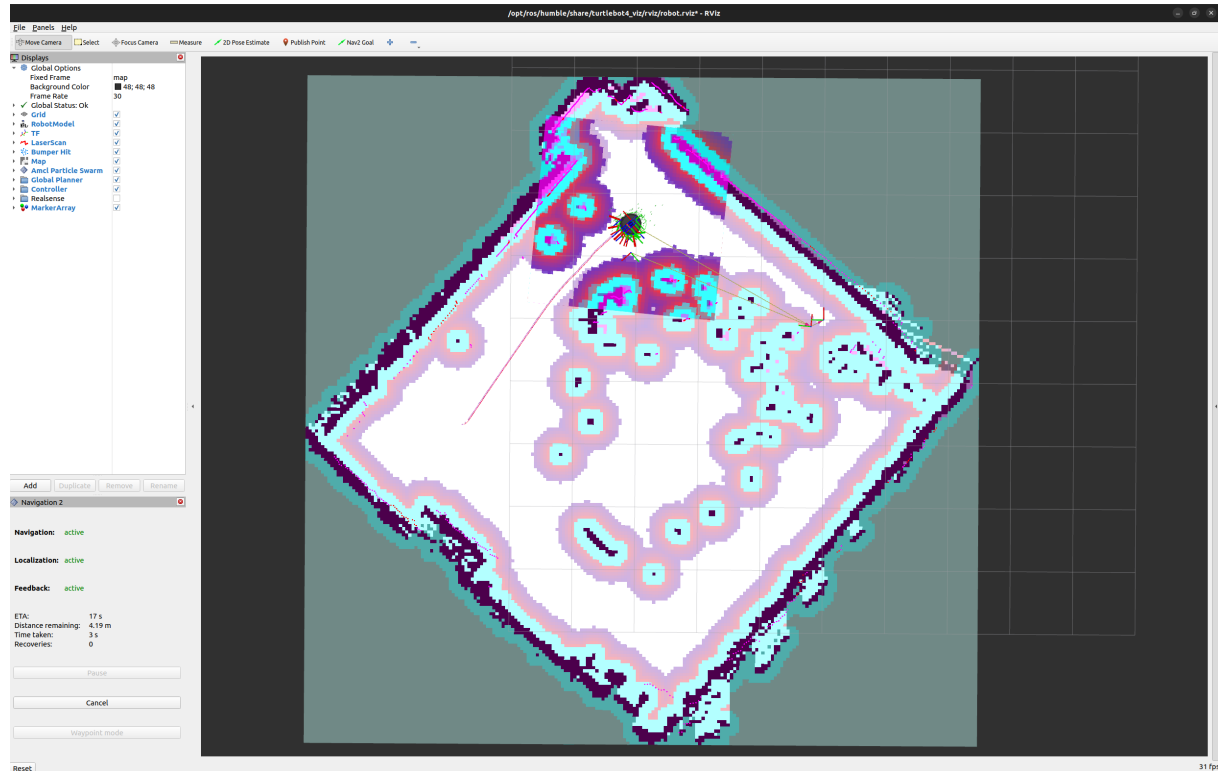


Abbildung 6: Blockdiagramm der Systemarchitektur

Abschließend wurde eine eigene Anwendung mit dem TurtleBot realisiert: eine Bumper-Safety-Node, die zuvor für den selbstgebauten Roboter implementiert worden war. Diese Node überwacht das Topic `/hazard_detection`, unterdrückt eingehende Teleoperationskommandos während eines Ausweichmanövers und führt ein definiertes Verhalten aus, bestehend aus Rückwärtsfahren, anschließendem Wegdrehen, kurzem Stillstand und anschließender Rückgabe der Kontrolle an den Benutzer. Die Portierung erforderte nur geringe Anpassungen, vor allem an den verwendeten Topics sowie an den Geschwindigkeits- und Zeitparametern, da die Motorik des TurtleBot deutlich feinfühliger reagiert als die zuvor verwendete ATTiny-basierte Steuerung.

Während der praktischen Arbeit zeigte sich zudem, dass der TurtleBot eine vergleichsweise

lange Bootzeit besitzt und erst nach mehreren Sekunden vollständig einsatzbereit ist. Besonders zu beachten war auch der Akkustand: Der Roboter verweigert bei niedriger Ladung teilweise die Ausführung bestimmter Aktionen oder bricht interne Prozesse ab. Diese Faktoren führten immer wieder zu kurzen Unterbrechungen.

Insgesamt erwies sich die Arbeit mit dem TurtleBot 4 als äußerst lehrreich. Die zuvor erarbeiteten ROS-2-Kenntnisse ließen sich nahtlos auf ein professionelles Robotersystem übertragen. Gleichzeitig wurde deutlich, wie wichtig strukturierte Topic-Architekturen, robuste Safety-Mechanismen und eine saubere Parametrisierung für reale Robotersysteme sind. Besonders die Fähigkeit des Roboters, auch nach manueller Umpositionierung wieder in die Karte zurückzufinden und autonom zu navigieren, unterstreicht die Leistungsfähigkeit des TurtleBot 4 und die Vorteile eines vollständigen ROS-Ökosystems.

Literatur

- [1] OMRON. Autonome mobile Roboter. <https://industrial.omron.de/de/products/autonomous-mobile-robot> aufgerufen am 15.10.2025 12:35 Uhr.
- [2] Rene Krooß Jürgen Wolf. C von A bis Z. Rheinwerk, 2009.
- [3] Nico Beyer. Praktikum Echtzeitsysteme – Laborunterlagen. gespeichert am 22.08.2025.

Anhang